

II-142 流砂のある河道の深さ、幅と流量の関係

立命館大学理工学部 正員 大同淳之

1 はじめに

河道計画において、断面内に余分の堆積、洗掘を許さないためには、縱断方向だけでなく、横断方向にも平衡条件が必要である。安定な横断形について、従来より Regime Theory によって、水理量間の関係が示されているが、これらは、水理量が互に独立であるとして導びかれている。しかし、これらの関係は、流砂の運動式、流水の抵抗式および流路の形状を規定する式を連立に解くことによって得られるはずである。問題は、流砂のある河並、すなわち、河岸部では揚流力が河岸の砂れきの限界揚流力を下回り、中央部では流砂量がある状態の形状を何によって規定するかである。本文は、結果としてこの問題に答えず、流路幅と水深の関係に経験式を用いて、上記の計算を行ない、水深、流路幅と流量との関係を導き、これらの関係が、従来提案されている、Regime式の指數と同じ指數で表されることを示した。

2 解析

流砂量式、抵抗則式および水深と流路幅の関係式と組合せて、水深、流路幅と流量との関係を求める。

i) 流砂量式 流砂量 $g_B (= q_s / U_* d)$ は、 $C_* = (U_*^2 / (s-1) g d)$ の間に

$$g_B = \alpha_1 C_*^m \quad (1)$$

と表わす。 g_B と C_* の関係は、対数紙上で、必ずしも直線でない。両者の関係を(1)式で表わすためには、各の範囲を区切って、 α_1, m を求めねば要があり、例えば、佐藤、吉川、芦田公式を用いると、 α_1, m は表1のような値となる。流砂量 q_s を体積濃度 C で表わすと、流量 Q と q_s の関係は、表1

路幅と B として、次のように表現される。

$$Q = q_s B / C = [\alpha_1 g^{1/2} / (s-1)^{1/2} d^{m+1} C] B h^{m+1/2} I^{m+1/2} = \alpha_2 B h^{m+1/2} I^{m+1/2} \quad (2)$$

ii) 抵抗則式 平均流速 U 、 $U/U_* = E(R/R_s)^n$ とし、 $n = 1/6$ とすると $0.08 < C_* < 0.13$ とすると $0.08 < C_* < 0.13$ とすると $2 \times 10^4 < R < 2.75 \times 10^4$

$$U = E(g^{1/2} / R_s^{1/6}) R^{2/3} I^{1/2} \quad (3)$$

となる。若者らの実験によると、流れが自己形成した流路では、 $R = \alpha_3 h$ の関係がある。

$$U = \alpha_3^{2/3} E(g^{1/2} / R_s^{1/6}) R^{2/3} I^{1/2} \quad (4)$$

α_3 は、 Fr または Fr の関数であるが、必ずしも十分に関係づけられていないので、ここでとりあえず。

$$U = \alpha_4 R^{2/3} I^{1/2}, \quad \alpha_4 = \alpha_3^{2/3} E(g^{1/2} / R_s^{1/6}) \quad (5)$$

とする。

iii) 流路幅と水深との関係 流路幅は、河岸と形成する砂れきの性質で変わるとされており。即ち、凝集性の有る物質のときは、凝集性のない材料に比して狭くなる。流砂のある河道を対象とするととき、河道が一定の幅で平衡に達しているときは、河岸部では土砂の流送がなく、中央部のみに流砂が生じているとしなければならぬ。凝集性のある材料のとき、流路幅が狭いのは、流れの挾撃の違いではなく、抵抗力の差とみなされる。

流路の横断形は、流砂の有無に関係なく、流れの運動量とせん断抵抗との平衡で定められるべきものと思われる。両岸部ではせん断力が、限界揚流力に等しく、中央部ではせん断力が限界揚流力を上回る条件を満たす横断形状は未だ算出できない。もし、流路床にはたらくせん断力が限界揚流力を少し上回る程度で、河床の形状は、全ての点で限界揚流力に対応する形状に近いという考え方とすると、深さと流路幅との関係は次のようになる。即ち、土屋は、河岸上に作用するせん断力は全ての点で限界揚流力にあるという条件で、河岸部の最大深 h_0 と、河岸までの幅 B_K の関係を求めているが、これらは、 $U_* d / l$ の関数であるといえ、 $h_0 / B_K = \alpha_5$ と表われされ、 α_5 の値はほぼ 2.0 である。

また、ゆるい曲率を有する横断面の単位長さ面に作用するせん断力は、底面からひいた法線で囲まれる面積体の質量力と釣合うという考え方で導いた Lundgreen のせん断力分布とともに、中心で限界掃流力であるとした Parker²⁾の解は、 $2h_0/B = \mu [(1-\gamma)/(1+\gamma)]^{1/2} (1/\cos^{-1}\gamma)$ 、ここで、 μ ；水の静止摩擦係数、 $\gamma = \mu \cdot \beta$ (β ：揚力係数) で、 γ は定数であるが、 $h_0/B = \alpha_6$

$$(7)$$

と、一次式の成立することを示している。

これに対して、実測値は、図1のように、(6)式または(7)式の成立するかとみなされる資料もあるが、 α_6 の値は、(6)式および(7)式で与えられるものより大きい。さらに資料の殆んどは、図2の著者らの実験値

Simons の測定値、図3のLaneの収集値などにみられるように、

$$h = \alpha_7 B^n \quad (8)$$

の関係を示している。これは、掃流力が高に近い場合でも、流路中央部に河道部分があることを示唆し、実験でも確かめられた。河道部の幅が、如何なる物理量で規定されるかは、今後の問題となり、ここでは、(8)式で、 $n = 2/3$ とした値を採用する。

(ii) 流路幅、水深と流量との関係

(2)式に、(5)式および(8)式を代入すると、水深および流路幅と流量との関係は、次のようになります。

$$h = \frac{\alpha_2}{\alpha_4} \frac{3 - \frac{3}{2}(m + \frac{1}{2})}{2 - \frac{1}{2}(m + \frac{1}{2})} Q^{\frac{1}{2}} = P Q^M \quad (9)$$

$$B = (h/d)^{3/2} = (P/d)^{3/2} Q^N, \quad N = (3/2)M \quad (10)$$

上式中の、指標中の m は、 B の大きさで、8から1の範囲で変化するが、

(9)および(10)式の指標、 M, N の m についての変化は図4のとおりで、

m が変わっても $M = 0.36, N = 0.52$ とほぼ一定である。これらの値は、従来より Regime 式において、 $h \propto Q^{0.36}$, $B \propto Q^{0.5}$ とされている値と一致する。図5に著者らの実験値を示すが、これはすでに芦田らによてさらに広い範囲について示されているものである。 α_2, α_4 および α_7 の指標とされ、 β_2, β_4 および β_7 とすると、 $\beta_2 = 0.03, \beta_4 = 0.39, \beta_7 = 0.54$ で、 m についての変化は少ない。 B の領域が変っても、(9)および(10)式の係数、指標はそれほど変わらないとみなすことができる。 α_2 の値については、講演時に報告する。

4. ますび、 流砂量式、抵抗則式および幅深比式を用いて、深さ、流路幅と流量の関係を求め、Regime 式と同じ関係が得られることが示された。ただ流砂の有無にかかわらず Regime 式は同じ間に値を示すので、幅・深さ比について、力学的釣合を求める必要がある。

1)土屋、京大防災研 Bulletin No.29. 1959, 2) G. Parker, J. Fluid Mech. Vol. 89 Part 1.

1978 3) D. Simons, Proc. ASCE HY May 1960, 4) E. Lane, Proc. ASCE Nov. 1852

5) 芦田、新砂防 Vol. 28, No. 2. 1975, 6) P. Ackers, Proc. ASCE Vol. 90, HY 4 1964,

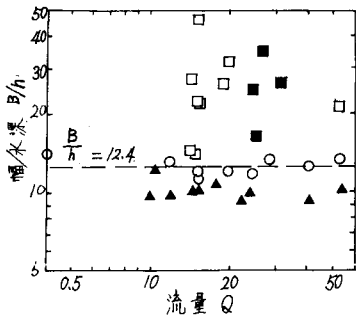


図1 のデータ⁶⁾

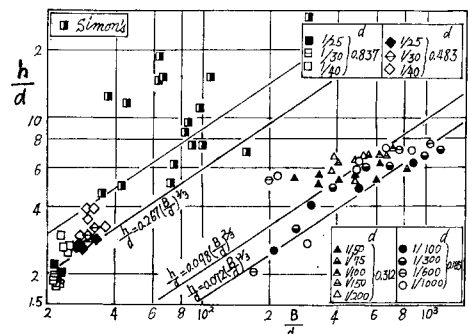


図2. 実験値および Simons のデータ³⁾

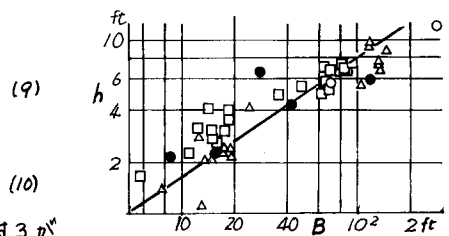


図3 Lane のデータ⁴⁾

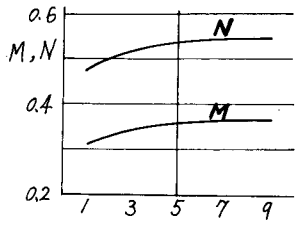


図4 M, N の値

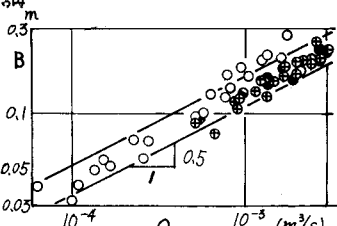


図5 B と Q の関係